R. MAROCCO

ANALISI PALINOLOGICHE ED ETÀ RADIOCARBONIO DEI DEPOSITI TORBOSI PIÙ SUPERFICIALI DELL'ANFITEATRO MORENICO DEL TAGLIAMENTO*

POLLEN ANALYSIS AND RADIOCARBON DATES OF SURFICIAL PEATS OF THE TAGLIAMENTO MORAINE SYSTEM (FRIULI-ITALY)

Riassunto breve - Dall'analisi pollinica e radiometrica di tre orizzonti torbosi ubicati alle spalle delle principali cerchie moreniche dell'anfiteatro friulano si sono ricostruite alcune vicende vegetazionali dell'area pedemontana durante l'Olocene. La correzione dell'età radiocarbonio e la sua calibrazione hanno permesso di accertare la presenza del Querceto Misto con nocciolo ben prima della classica fase Boreale.

Parole chiave: Analisi polliniche, Datazioni radiocarbonio, Torbe, Anfiteatro morenico, Friuli.

Abstract - The results of pollen analysis and radiocarbon true and calibrate datations of three surficial peat level coming from north of the principal moraine of Tagliamento moraine system are reported. These data show some characters of the development of the vegetation during Holocene. In particular, they highligt the presence of Mixed Oak Forest (together with Corylus) in Friuli before the classic Boreal chronozone.

Key words: Pollen analysis, 14C Dating, Peats, Moraine system, Friuli.

Introduzione

In un precedente lavoro (MAROCCO & VAIA, 1991) si sono esposti i primi risultati di una ricerca sui depositi superficiali del sottosuolo dell'anfiteatro morenico friulano. Sulla base di tre sondaggi stratigrafici spinti fino alla profondità di 10 m dal p.c. si sono delineati gli eventi deposizionali trascritti nelle sequenze sedimentarie attraversate e sono stati datati (con il metodo standard radiocarbonio) tre orizzonti torbosi che rappresentavano episodi di impaludamento delle depressioni intramoreniche (fig. 1). In questo successivo lavoro vengono presentate le analisi palinologiche eseguite sulle torbe e le loro età radiocarbonio corrette per inquinamento del campione da parte di carbone più vecchio e calibrate con il metodo proposto da STUIVER & REIMER (1993). Questi dati offrono la possibilità di definire le condizioni climatico-vegetazionali

^{*} Ricerca eseguita con il contributo M.U.R.S.T. 60 % (Cartografia tematica Friuli-Venezia Giulia e regioni finitime).

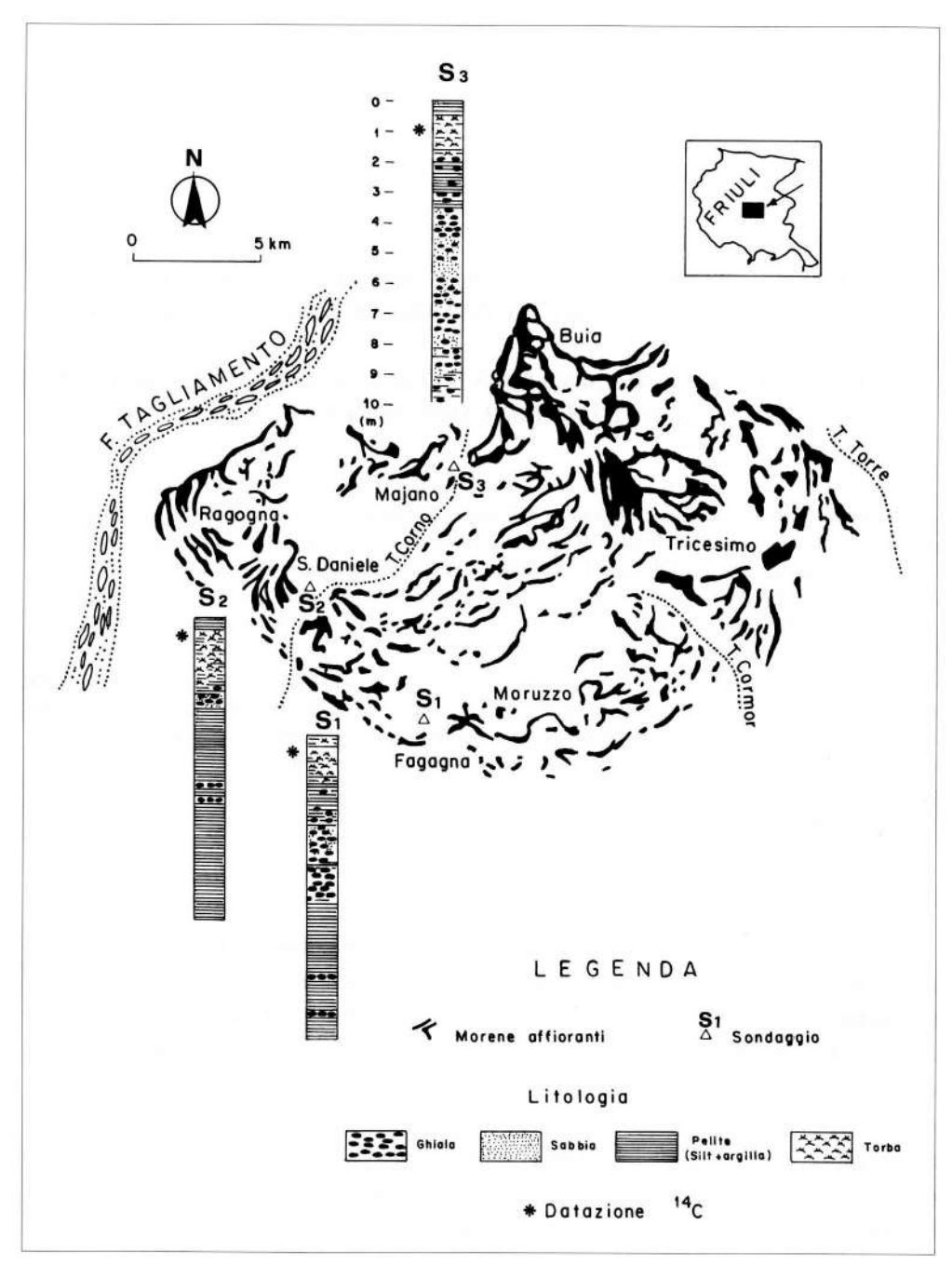


Fig. 1 - Anfiteatro morenico del Tagliamento: ubicazione e stratigrafia dei sondaggi.

- Tagliamento moraine system: location and stratigraphy of borings...

del tratto pedemontano del Friuli dopo la sua re-forestazione, obiettivo questo perseguito anche da specifici progetti di ricerca internazionali (Evans, 1992; Evans, 1994; Evans et al., 1994).

Materiali e metodi

I risultati delle analisi polliniche sono riassunti in tab. I e compendiati nelle figg. 2, 3 e 4. Le analisi palinologiche sono state eseguite nei laboratori dell'Istitut für Botanik der Leopold-Franzens-Universität Innsbruck, secondo il metodo di Erdtman (1934, 1936), BORTENSCHLAGER (1976) e SEIWALD (1980). La concentrazione pollinica è stata determinata con aggiunta di una quantità nota (3ml; 27407 ± 1398/ml) di pollini esotici (Impatiens balsamina) (Stockmarr, 1971). Per la classificazione sono stati usate le chiavi di Faegri & Iversen (1989) e MOORE, WEBB & COLLINSON (1991).

Le datazioni radiocarbonio sono state eseguite dal Laboratoire d'Hydrologie et Géochimie Isotopique dell'Università di Parigi Sud. Le correzioni dell'età convenzionale sono state apportate seguendo il programma CALIB 3.0.3 di STUIVER & REIMER (1993).

Risultati

Profili pollinici

Sondaggio S1

Profondità: 30-32 cm dal piano campagna (170 m dal l.m.m.)

Materiale: torba Totale pollini: 1188

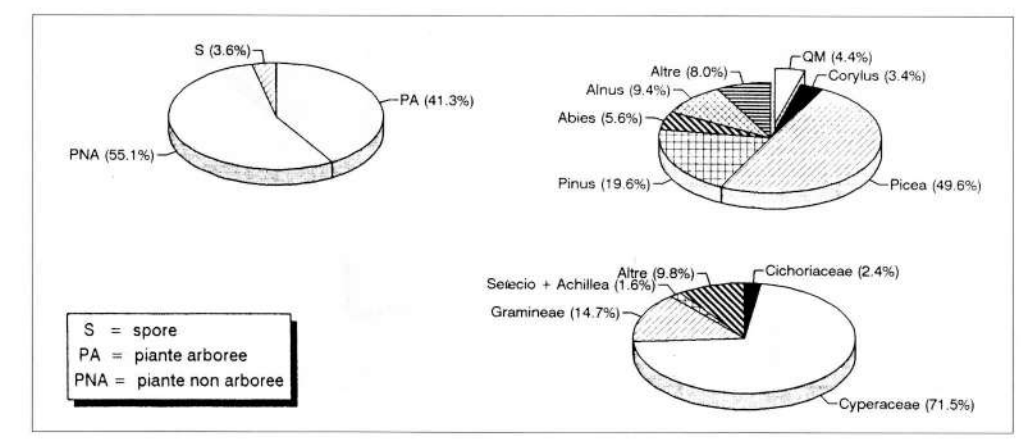


Fig. 2- Sondaggio S1: distribuzione percentuale dei risultati dell'analisi pollinica.

- Boring S1: percentage distribution of pollen analysis.

GAMFSNU 19 (1997)

Nello strato torboso del sondaggio si osserva una dominanza delle specie arboree su quelle erbacee. Fra le prime Picea, Abies, Alnus, Pinus, Fagus, Corylus avellana, Carpinus betulus, Quercus robur, sono relativamente abbondanti mentre Ulmus, Fraxinus ornus, Juglans, Salix e Vitis sono presenti in quantità minime. Nelle non arboree Cyperaceae, Gramineae, Achillea, Senecio e Plantago lanceolata rappresentano le componenti essenziali, mentre risultano subordinate le Umbelliferae, Cruciferae, Artemisia, Caryophyllaceae, Cichoriaceae, Dipsacus, Ericaceae, Labiatae, Lythrum, Parnassia palustris, Polygonaceae, Ranunculaceae, Ranunculus acris e Rosaceae. Fra le Pteridofite spore monoleti, Polypodium, Pteridium aquilinum, Selaginella selaginoides. Sono presenti frustoli carboniosi (valutabili in tenori < 5%).

La situazione vegetale in questo orizzonte viene definita da un bosco misto soprattutto con Picea e inoltre Abies, Fagus e Pinus. Nelle specie non arboree si rinvengono elevati valori di Gramineae (ca. 5%) ed indicatori di colonizzazione come Achillea, Artemisa, Cereali, Chenopodiaceae, Plantago lanceolata. Questa associazione vegetale accompagnata dalla sporadica presenza di Juglans fanno attribuire il campione di torba al periodo Sub-Atlantico e probabilmente alla fine del periodo Sub-Boreale (Horowitz, 1966).

Sondaggio S2

46

Profondita: 29 - 30cm dal p.c.(149 m dal 1.m.m.)

Materiale: torba Totale pollini: 859

Questo livello viene caratterizzato da un rapporto percentuale tra non arboree e arboree che è leggermente a favore delle prime. Nelle arboree abbondano Picea, Pinus e Alnus. Sono

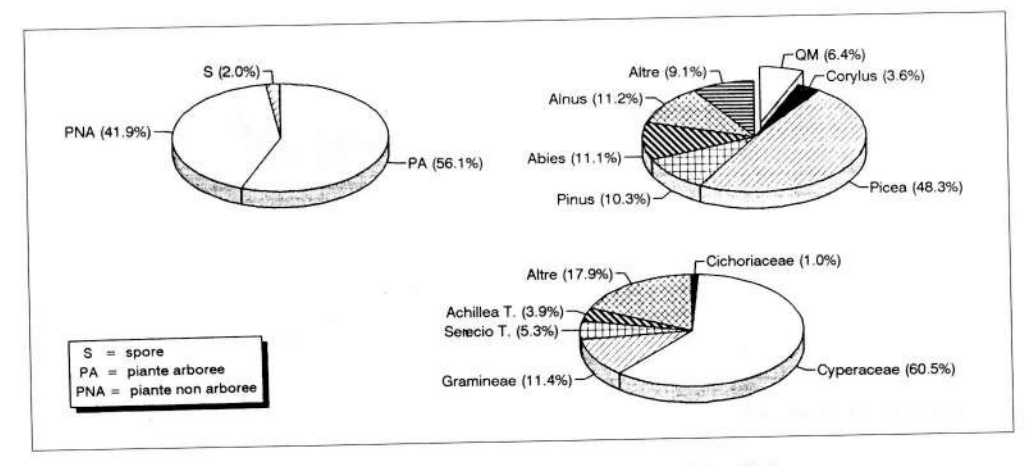


Fig. 3 - Sondaggio S2: distribuzione percentuale dei risultati dell'analisi pollinica.

- Boring S2: percentage distribution of pollen analysis.

presenti anche in percentuali superiori all'unità Abies, Fagus, Juglans e Corylus avellana. Meno rappresentati sono Quercus robur, Ulmus, Betula e Larix. Le componenti essenziali delle non arboree risultano essere Cyperaceae, Gramineae, Cichoriaceae, Primulaceae, Achillea, Dipsacus e Boraginaceae. Inoltre si trovano anche Umbelliferae, Ericaceae, Parnassia, Plantago lanceolata, Ranunculaceae, Ranunculus acris, Rosaceae, Stellaria holostea, Valeriana e Cereali. Fra le Pteridofite appaiono spore monoleti, Polypodium, Pteridum aquilinum, Selaginella selaginoides ed anche una quantità di carbone di legna, valutata attorno al 5-10 % del campione totale.

La diminuizione della somma delle specie arboree indica che la regione è priva di bosco (Welten, 1950). L'influsso antropogenico è molto evidente e viene sottolineato da indicatori di colonizzazione e coltivazione quali Achillea, Artemisa, Cereali, Chenopodiaceae, Plantago lanceolata ed un'alta percentuale di Poaceae. A causa di questo aspetto generale e dall'apparire di Juglans, noce, con valori percentuali si attribuisce la genesi del deposito torboso al periodo Sub-Atlantico.

Sondaggio S3

Profondità: 105 - 106cm dal p.c.(158 m dal l.m.m.)

Materiale: torba Totale pollini: 1254

Nel livello analizzato la somma delle specie arboree è dominata da Corylus avellana, Quercus robur e quindi da Picea, Pinus, Tilia, Alnus, Fraxinus excelsior. Meno rappresentati sono Ulmus e Fagus, Salix, Juniperus, Abies, Vitis e Phyllirea. Nelle non arboree (subordinate

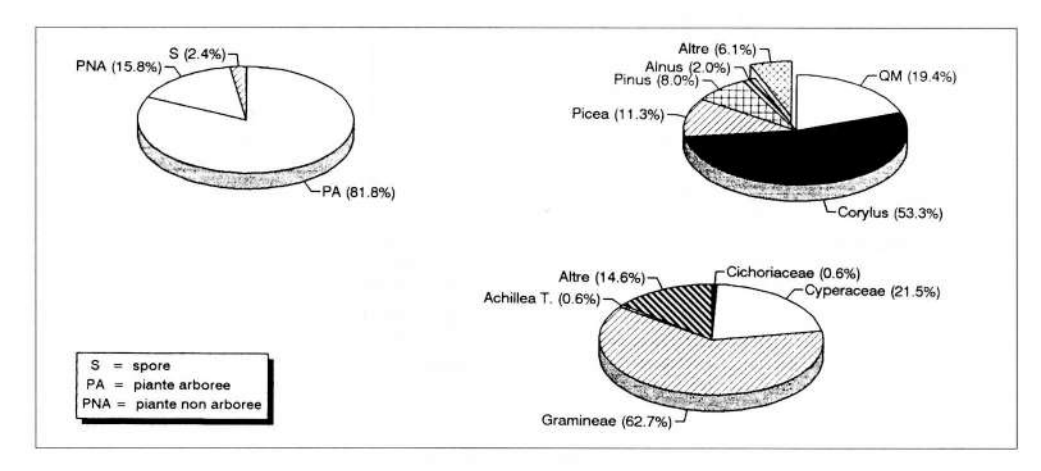


Fig. 4- Sondaggio S3: distribuzione percentuale dei risultati dell'analisi pollinica.

- Boring S3: percentage distribution of pollen analysis.

La prova mostra tipi del querceto misto (*Quercetum mixtum*) come *Quercus*, *Tilia* e *Ulmus*, con una alta quota di *Corylus avellana* e poco *Abies* e *Fagus*. Sono presenti apocrati ed indicatori di colonizzazione come *Artemisia* e *Rumex*. L'aspetto della vegetazione è quello di un querceto misto rado soprattutto a causa dell'alta percentuale delle Poaceae ed erbe eliofile.

La formazione del deposito va posta nel periodo Boreale (Horowitz, 1966; Bertoldi, 1965; 1968).

Sondaggio								
	S1	S 2	S3		S1	S2	S3	
Alnus	6.3	3.9	1.6	Saxifragaceae	0.5	Λ	1	
Corvlus avellana	2.0	1.4	43.5	Rosaceae	0.2	0.2	0.2	
Ouercus robur	2.8	0.4	10.5	Filipendula u.	1	١	0.3	
Tilia	0.1	\	4.8	Fabaceae	- \	1	0.2	
Ulmus	0.6	0.5	0.5	Brassicacea	0.3	1	1	
Acer	1	1	0.2	Primulaceae	\	0.5	1	
Fraxinus excelsior	1	1	1.4	Boraginaceae	0.1	0.6	1	
Fraxinus ornus	0.1	Ň	0.2	Ranunculaceae	0.2	0.1	1	
Carpinus betulus	1.1	1	\	Ranunclulus a. t	0.1	0.1	1	
Ostrya t	١	0.1	0.1	Scrophulariaceae	0.5	0.6	0.1	
Abies	6.2	2.3	0.2	Lamiaceaea	0.1	1	1	
Fagus	5.9	1.9	1.6	Polygonaceae	0.1	1	1	
Picea	27.1	22.3	9.2	Liliaceae	1	1	0.1	
Pinus	5.8	8.1	6.5	Parnassia t	0.1	0.1	\	
Betula	0.9	0.5	0.2	Ericaceae	0.3	0.1	0.2	
Larix	1	0.4	1	Plantago 1.	0.2	0.1	1	
Salix	0.1	1	0.1	Plantago m.	Λ.	1	0.1	
Juniperus	1	Ň	0.2	Rumex	/	1	0.1	
Hedera	ì	ì	0.3	Cereali	0.6	0.2	1	
Juglans	0.1	1.3	1	Lythrum	0.3	1	1	
Vitis	0.2	1	0.7	Thypha lat.		0.1	1	
Gramineae	4.7	8.1	9.9	Ciperaceae	25.0	39.4	3.4	
Artemisia	0.1	1	0.2	Varia	0.9	1.4	0.1	
Chaenopodiaceae	0.8	0.7	\	Dryopteris	0.8	2.8	2.0	
Caryophyllaceae	0.3	1	1	Pteridium a.	0.8	0.2	0.1	
Rubiaceae	١	1	0.1	Polypodium	0.1	0.4	0.1	
Senecio t	2.2	0.4	\	Salaginella s.	0.3	0.2	1	
Achillea t	1.6	0.5	0.1	Triglochin	\	1	0.1	
Centaurea	\	0.5	\	Nuphar	\	1	0.1	
Cichoriaceae	0.4	1.3	0.1					
Apicaceae	0.3	0.1	0.6	t = tipo				

Tab. 1- Percentuali delle specie polliniche riconosciute nei depositi torbosi dell'immediato sottosuolo dell'anfiteatro morenico del Tagliamento.

Datazioni radiocrabonio

Le datazioni ¹⁴C eseguite con il procedimento standard hanno fornito le seguenti età (Marocco & Vaia, 1991):

S1 3067 +/- 167 anni B.P.;

S2 1680 +/- 127 anni B.P.;

S3 8971 +/- 212 anni B.P..

Le età convenzionali sono state prima corrette per l'inquinamento da parte di carbone più vecchio (che può determinare errori di gran lunga superiori a quelli strumentali) e quindi calibrate con il programma CALIB 3.0.3 proposto da STUIVER & REIMER (1993).

La presenza di frustoli carboniosi fluitati negli acquitrini intramorenici è stata valutata percentualmente. A questi tenori corrispondono errori in età secondo le curve standards (fig. 5) rispettivamente di:

S1 5% di frustoli carboniosi = 265 anni;

S25-10% di frustoli carboniosi = 485 anni;

S3 <5% di frustoli carboniosi = 200 anni.

La bontà delle correzioni effettuate viene sottolineata anche da altri valori testati su una torba della Laguna di Caorle. Sulla frazione carboniosa più fresca (*Charcoal-recent wood*) e sul campione in toto è stata misurate l'età con l'acceleratore lineare. L'errore causato dalla contaminazione del campione con circa il 10-15 % di carbone vecchio risulta essere di 743 anni.

Le età convenzionali così corrette sono state poi calibrate nell'intervallo di tempo compreso tra 0 - 18360 ¹⁴C anni B.P.

Le età radiocarbonio calibrate sono risultate le seguenti:

S1 2872 cal yr B.P.(2754-3146 B.P.);

S2 1072 cal yr B.P.(959-1271 B.P./878 A.D. 679-991 A.D);

S3 9732 cal yr B.P.(9492-9976 B.P.).

Considerazioni conclusive

La possibilità di abbinare metodi di radiodatazione sempre più affinabili con le tradizionali analisi polliniche permette di meglio definire la ripartizione vegetale e climatica classica dell'area padana nell'Olocene. In particolare i recenti metodi di correzione dell'età radiocarbonio e la successiva possibilità di calibrazione dei dati cronometrici, generalmente anticipa, nei depositi più vecchi, l'insediamento dei consorzi vegetali più tipici rispetto allo schema classico del Nord Italia.

Nell'ambito dell'anfiteatro morenico del Tagliamento che rappresenta l'apparato pedemontano glaciale più orientale della pianura friulana, l'analisi dei depositi torbosi più superficiali evidenzia, per i più recenti, una buona concordanza con la ripartizione vegetale

⁻ Percentage of pollen in the surficial peats of Tagliamento moraine system.

50

classica del SubAtlantico, mentre per l'orizzonte torboso più vecchio, si registra un lieve scarto dallo schema classico. Segnatamente i depositi torbosi subatlantici dei sondaggi S1 e S2 evidenziano la presenza, nell'ambito della parte più meridionale dell'anfiteatro, di un bosco misto rado (S1) che passa a radura circondata da alberi in S2. Il bosco è costituito da un Querceto Misto posto in prossimità di aree acquitrinose (confermata anche dalla presenza di Alnus), in gran parte bonificate, come testimoniano le coltivazioni rinvenute soprattutto nell'area posta nelle vicinanze di San Daniele (sondaggio S2). L'età radiocarbonio e la ripartizione vegetale classica si discostano leggermente invece in corrispondenza del deposito torboso ubicato a monte della cerchia più interna (sondaggio S3). Qui l'associazione vegetale viene ascritta alla fase Boreale, mentre l'età radiometrica (corretta e calibrata) indica uno scarto di almeno 300 anni da questa (periodo PreBoreale). Non aiuta a dipanare questa discrepanza il confronto con i diagrammi pollinici ricavati da un sondaggio eseguito poco più a Nord dell'anfiteatro, in località Cavazzo-Vuarbes (Kral, 1982). Alla profondità di 5.7-6.8 m dal piano campagna (270 m dal l.m.m.) l'autore segnala la presenza di depositi lacustri con uno spettro pollinico essenzialmente costituito da un Querceto Misto con Picea e Corylus (fase Boreale), soprastante a consorzi di Pinus e Betula (fase PreBoreale).

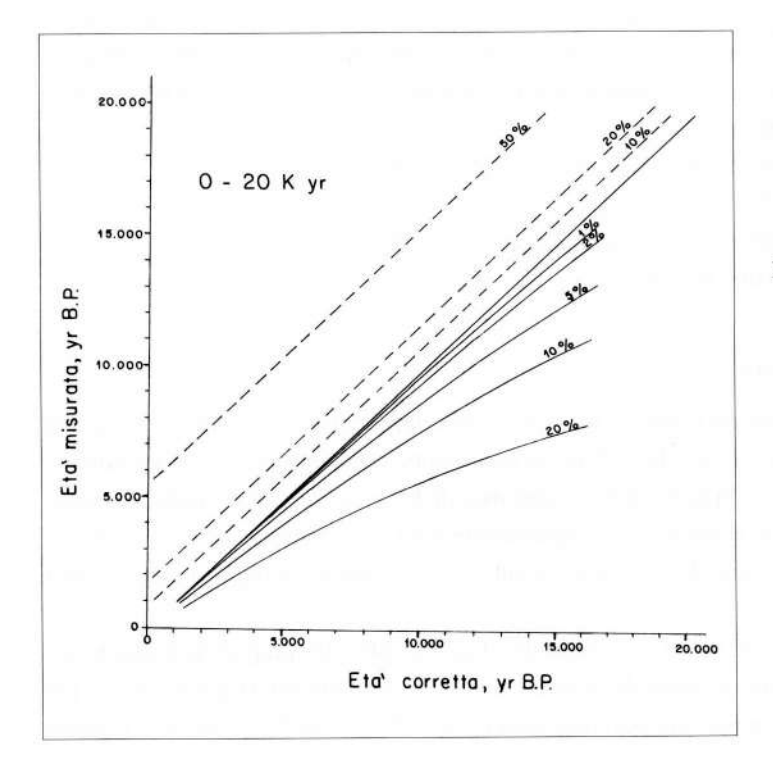


Fig. 5 - Grafico di correzione per la contaminazione della torba con carbonio più vecchio (linea a tratteggio) o più giovane (linea continua) (range: 0 -20 kyr).

GAMFSNU 19 (1997)

Scatter plot for age correction, related to contamination by modern carbon (solid line) and "dead" carbon (dashed line) in peat deposits.

Immediatamente dopo il periodo Tardiglaciale però la presenza del Querceto Misto nell'ambito degli apparati morenici della pianura padana viene segnalata da Bertoldi & Consolini (1989) nelle torbiere del lago d'Iseo (zona pollinica locale zl5). Anche in questa località consociato al Querceto Misto si rinviene il Nocciolo che, essendo una pianta che predilige la luce, si colloca generalmente ai margini dell'area boschiva. I valori percentuali dominanti del Corylus rinvenuti nel sondaggio S3 dovrebbero pertanto indicare una situazione vegetale di margine di radura del querceto. Anche a livello delle più recenti distribuzioni areali della vegetazione in Europa (vedi Huntley, 1990) l'associazione Corylus - Quercus - Ulmus viene ritenuta dominante per il Nord Italia nel periodo 11,000 - 9,000 B.P. I dati palinologici del sondaggio S3 sostanzialmente confermano la zonazione vegetale proposta da questo autore che è stata leggermente modificata per l'area appenninica da Love (1992) e non si discosta di molto da quella presentata da Evans (1994; eseguita però sulla base di datazioni radiocarbonio non calibrate).

Si ritiene plausibile, pertanto, che il Querceto Misto con nocciolo sia comparso timidamente nell'area pedemontana del Friuli durante le oscillazioni climatiche del Prebølling e del Bølling e si sia insediato stabilmente durante il PreBoreale. Questa associazione arborea comunque si trova associata a Pinus (generalmente antagonista al QM) che diventa dominante alle quote più elevate (Kral, 1982) e nelle regioni orientali (vedi Cattani, 1986; Huntley, 1990; GALLIZIA VUERICH & PRINCIVALLE, 1994).

In queto contesto l'area dell'anfiteatro morenico friulano dovrebbe rappresentare la fascia di commistione del QM, tipico degli areali di pianura, con i boschi a Pinus delle aree montane carniche e dinariche.

Ringraziamenti

Si ringrazia K. Oeggl dell'Università di Innsbruck per l'esecuzione delle analisi polliniche e per l'aiuto offerto nell'interpretazione dei dati.

Manoscritto pervenuto il 04.VI.1996.

Bibliografia

BERTOLDI R., 1965 - L'oscillazione di Bølling riscontrata in un deposito lacustre tardo-glaciale della Valle Padana per mezzo di studi pollinologici e datazione con il metodo del Carbonio radioattivo. Stud. Trent. Sc. Nat., Sez. B., 42: 193-201.

Bertoldi R., 1968 - Ricerche palinologiche sullo sviluppo della vegetazione Tardiglaciale e Postglaciale nella regione del lago di Garda. Stud. Trent., Sc. Nat., Sez. B, 45: 87-162.

Bertoldi R. & Consolini M., 1989 - Deglaciazione e sviluppo vegetazionale tardi-postglaciale nella regione del lago d'Iseo attraverso analisi polliniche e datazioni 14C. Mem. Soc. Geol. It., 42: 139-

BORTENSCHLAGER I., 1967 - Beitrage zur Vegetationsgeschichte Tirols II: Kufstein - Kitzbuhel - Pass Thurn. Ber. Nat. Med. Ver. Innsbruck, 63: 105-137.

- Cattani L., 1986 Ricerche palinologiche nell'insediamento preistorico del riparo di Biarzo (S. Pietro al Natisone, Udine). *Gortania*,7: 137-146.
- Erdtman G., 1934 Über die Verwendung von Essigsaureanhydrid bei Pollenunter-suchungen. Svensk. Bot. Tidsk., 28 (2): 354-361.
- ERDTMAN G., 1936 New methods in pollenanalysis. Svensk. Bot. Tidsk., 30 (2): 154-164.
- EVANS S.P., 1992 Classificatory discriminant analysis of pollen data in North Eastern Italy I. Numerical method. Il Quaternario, 5(2): 269-280.
- EVANS S.P., 1994 Classificatory discriminant analysis of pollen data in Northeastern Italy II. Mapping of Holocene Vegetation. Il Quaternario, 7(2): 627-642.
- Evans S.P., Lanzinger M., Oeggl K. & Gottardini E., 1994 Recostructing Holocene palaeclimate from pollen data in the eastern Alps I. Project structure. *Il Quaternario*,7(1): 343-350.
- FAEGRI K., & IVERSEN J., 1989 Textbook of pollenanalysis. Wiley & Sons, IV Ed.: 241-288.
- Gallizia Vuerich L. & Princivalle F., 1994 Studio mineralogico su alcuni sedimenti della grotta dell'Edera (Carso Triestino): un tentativo di ricostruzione paleoclimatica. *Il Quaternario*, 7(1): 569-576.
- HOROWITZ A., 1966 Palynological studies in the Lagoon of Venice. *Mem. Biogeogr. Adriat.*, 7: 17-27. HUNTLEY B., 1990 European vegetation history: palaeovegetation maps from pollen data 13,000 yr Bp to present. *Journal of Quaternary Science*, 5: 103-122.
- Kral F., 1982 Zur postglazialen Vegetationsgeschichte am Sudrand der Ostalpen. II Pollenanalytische Untersuchungen in nordlischen Friaul. Bot. Jahrb. Syst., 101(4): 343-370.
- Love J.J., 1992 Lateglacial and early Holocene lake sediments from the northern Apennines, Italy pollen stratigraphy and radiocarbon dating. *Boreas*, 21: 193-208.
- MAROCCO R. & VAIA F., 1991 Età radiometrica dei depositi torbosi più superficiali dell'anfiteatro morenico del Tagliamento. Gortania, 13: 51-55.
- MOORE, P., WEBB, J., COLLINSON, M.E., 1991 Pollenanalysis. Blackwell, II. Ed.: 83-162;
- SEIWALD A., 1980 Beitrage zur Vegetationsgeschichte Tirols IV: Natzer Plateau- Villanderer Alm. Ber. Nat. Med. Ver. Innsbruck, 67: 31-72.
- STOCKMARR J., 1971 Tablets with spores used in absolute pollen analysis. *Pollen et Spores*, 13 (4): 615-621.
- STUIVER M.& REIMER., 1993 Extended 14C database and revised CALIB radiocarbon calibration program. *Radiocarbon*, 35: 73-85.
- Welten M., 1950 Die Alpweiderodung im Pollendiagramm. Ber. Geobot. Forschungsinst. Rubel 1948: 57-67, Zurich.

Indirizzo dell'Autore - Author's address:

⁻ Prof. Ruggero Marocco

Dipartimento Scienze Geologiche, Ambientali e Marine dell'Università degli Studi

Via E. Weiss 2, I-34127 TRIESTE